

浅海潮流(分量)鉛直分布的一种类型

陈宗鏞

(山东海洋学院)

提要: 本文根据湍流半經驗理論, 結合求得的一种脉冲应力的分布規律, 解算出潮流(分量)鉛直分布的表达式。按照該式可由表面层的最大流速計算海面下各个层次的最大流速。

一、前 言

已有的深水观测資料表明, 潮流随深度的变化不十分显著^[2], 这个現象和理論上的推断是基本相符的。就是說在潮波传播过程中, 水质点水平移动发生在整个水层內, 流速几乎不随深度而变。但是, 在浅水区, 由于底摩擦对上下各水层的影响都很明显, 所以鉛直方向上的潮流速度也就不一致。下面扼要介紹一些前人的研究結果。

Sverdrup (1927)^[4] 探討西伯利亚大陆棚的潮汐时, 将长波运动方程加上摩擦項, 在只考虑鉛直涡动并假定鉛直涡动粘滯系量为恆量的条件下, 采用自由表面切应力与海底流速均为零作边界条件, 对运动方程求解, 虽然假定条件未尽符合实际情况, 但所获結果, 对底摩擦的效应仍能闡示出初步的概念。第一, 在海底存在一摩擦影响层(以下簡称摩擦层), 該层厚度取决于比值 $\frac{T \sin \varphi}{12}$ (T 是潮波周期, φ 是地点的緯度) 和涡动粘滯系量的大小; 在摩擦层之上, 潮流和不受摩擦的情况相同。第二, 在摩擦层內潮流橢圓变狭、长軸方向向右偏轉, 同时发生最大流速的时刻也提前了。第三, 在浅海, 底摩擦的影响可能达到海面, 因而表面潮流最大流速的方向, 不再与潮波传播方向一致。

J. E. Fjeldstad (1929, 1936) 改进了 Sverdrup 关于涡动粘滯系量为恆量的假定, 取涡动粘滯系量为深度的函数, 对长波波方程求解, 所得結果与 Sverdrup 的結論比較仍大致相同。

J. V. Veen (1938) 在研究 Dover 海峽的潮流时指出: 潮流鉛直分布可以用公式

$$v = aZ^{1/n}$$

表示^[1], 式中 Z 是从海底算到某一深层的距离, v 为相应于深层 Z 处的流速, a 是常数, n 为 5.2 左右。Пербунина^[4] 采用类似的公式

$$v = v_0 \left(\frac{Z}{h} \right)^p$$

計算了海峽的潮流。式中 v_0 是表面流速, h 是海峽的深度, p 取为 $\frac{1}{5}$ 和 $\frac{1}{7}$ 。計算結果表

明: 对长海峽, 取 $p = \frac{1}{7}$; 对短海峽, 取 $p = \frac{1}{5}$ 。但其偏差值达到 20—49 厘米/秒。

Д. У. Вапняр, 1960^[3] 曾用涡动粘滯系量为深度的綫性函数, 求解运动方程, 結果与涡动粘滯系量为恆量的假定所导出的結論差別很少; 同时指出, 用一般流体动力学的基

本方程, 要求得潮流的鉛直結構未必是可能的。故改用 L. Prandtl 湍流半經驗理論有关脉冲应力与流速梯度的关系式, 并由观测資料确定出混合长度 $l = 0.19 z$, 求得流速鉛直分布的公式。解算方程时, 对粗度参量 z_0 的量值, 分别取为 5、10、15 厘米进行了討論。結果是: 上、中层潮流速度緩慢减小, 接近海底便迅速减小, 初相角亦随深度变小。

本文采用上述后一种方法, 但是混合长度采用 Karmen 的表达式

$$l = -k \frac{\frac{du}{dz}}{\frac{d^2u}{dz^2}}$$

式中 k 为 Karmen 常数(等于 0.4)。另外, 引用 Bowden^[5] 等人得出的两个特定时刻脉冲应力 F 随深度的变化曲綫, 由曲綫确定出經驗公式, 然后分別按关系式

$$F = \rho k^2 \frac{\left(\frac{du}{dz}\right)^4}{\left(\frac{d^2u}{dz^2}\right)^2}$$

求出流速的鉛直分布規律。

二、潮流(分量)鉛直分布

命分潮潮位 ζ , x 方向的潮流分量 u 以及相应的潮流脉冲应力 f 分别为

$$\zeta = R \cos(\sigma t - \theta) \tag{1}$$

$$u = U \sin(\sigma t - \theta - \alpha) \tag{2}$$

$$f = F \sin(\sigma t - \theta - \beta) \tag{3}$$

式中 R 、 u 、 F 依次为潮位、潮流分量、脉冲应力的振幅, θ 、 $\theta + \alpha$ 、 $\theta + \beta$ 为其相角, σ 为分潮的角速率。

潮位、潮流及其伴随而生的脉冲应力都是周期函数, 在引用湍流半經驗理論进行討論时, 必須选取二个特定时刻。为便于討論, 取該地发生最高潮位 ($\sigma t_1 - \theta = 0$) 和从高潮时刻算起經過四分之一周期 ($\sigma t_2 - \theta = 90^\circ$) 两个时刻。

根据 Bowden 等人的数据(图 1), 最高潮位与經過四分之一周期的时刻, 脉冲应力可依次写为:

$$F_1 = F_{01} + F_{02} \frac{z}{h} - 2F_{01} \left(\frac{z}{h}\right)^2 \tag{4}$$

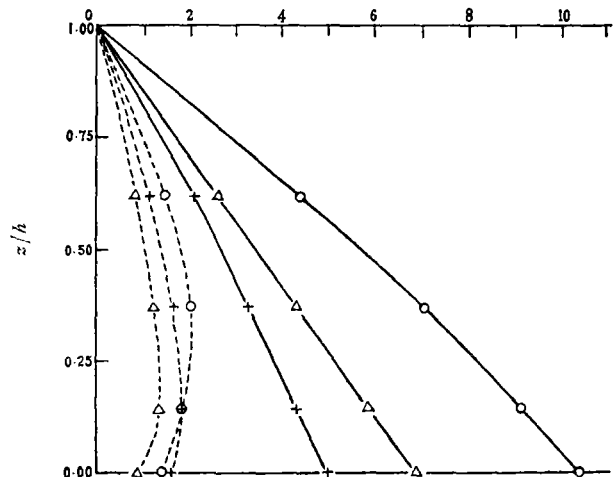


图 1 F_1 和 F_2 的鉛直分布
高潮时刻 高潮过 1/4 周期的时刻

- | | | |
|------|---------|---------|
| № 2 | ---△--- | ---△--- |
| № 7 | ---○--- | ---○--- |
| № 11 | ---+--- | ---+--- |

$$F_2 = F_{02} \left(1 - \frac{z}{h}\right) \quad (5)$$

(4)式表明: 在海面 $\left(\frac{z}{h} = 1\right)$ 脉冲应力为零,而在海底 $\left(\frac{z}{h} = 0\right)$ 应力为 F_{01} ,在 $\frac{z}{h} = \frac{1}{4}$ 处达到最大; (5)式表示出 F_2 按綫性規律变化: 海面应力为零,越近底层应力越大,在海底 $F_2 = F_{02}$ 。坐标自海底向上取为正。

由 Prandtl 理論,湍流脉冲应力为

$$F = \rho l^2 \left(\frac{du}{dz}\right)^2 \quad (6)$$

式中, ρ 是流体的密度, l 是混合长度。根据 Karmen 脉冲場相似性理論,混合长度

$$l = -k \frac{\frac{du}{dz}}{\frac{d^2u}{dz^2}} \quad (7)$$

将(7)式代入(6)式,得

$$F = \rho k^2 \frac{\left(\frac{du}{dz}\right)^4}{\left(\frac{d^2u}{dz^2}\right)^2}$$

两边开方,并考虑 $\frac{d^2u}{dz^2} < 0$, 遂得

$$\frac{d}{dz} \left(\frac{1}{u'}\right) = k \left(\frac{\rho}{F}\right)^{1/2} \quad (8)$$

上式 $u' = \frac{du}{dz}$ 。

将(8)式中的 F 、 u' 分別用 F_1 、 F_2 和相应的量值 u'_1 、 u'_2 代替,选取适当的边界条件,便能解算出 u_1 和 u_2 的鉛直分布。然后按照关系式

$$u = \sqrt{u_1^2 + u_2^2}; \quad \alpha = \operatorname{tg}^{-1} \frac{u_2}{u_1}$$

便可計算潮流分量 u 的鉛直分布規律。至于另一分量 v ,可采用类似的方法求得。

1. 最高潮位时刻潮流分量(u_1)的鉛直分布。

将最高潮位时刻脉冲应力表达式(4)代入(8)式,得

$$\frac{d}{dz} \left(\frac{1}{u'_1}\right) = k \sqrt{\rho} \left[F_{01} + F_{01} \frac{z}{h} - 2F_{01} \left(\frac{z}{h}\right)^2 \right]^{-1/2}$$

令 $x = \frac{z}{h}$, 根据 $x \rightarrow 0$, $u'_1 \rightarrow \infty$ 的条件,上式积分后可以写成

$$u'_1 = \frac{1}{kh} \sqrt{\frac{2F_{01}}{\rho}} \frac{1}{y} \quad (9)$$

式中 $y = \sin^{-1} \frac{1}{3} - \sin^{-1} \frac{1-4x}{3} > 0$ 。对上式求积分:

取边界条件 $z = h$, $u_1 = u_{01}$, 得

$$u_1 = u_{01} - \frac{1}{2k} \sqrt{\frac{9F_{01}}{2\rho}} \left\{ \cos^{-1} \frac{1}{3} \left[\ln|y_1| - \frac{y_1^2}{2.2!} + \frac{y_1^4}{4.4!} - \ln|y| + \frac{y^2}{2.2!} - \frac{y^4}{4.4!} + \dots \right] + \sin^{-1} \frac{1}{3} \left[y_1 - \frac{y_1^3}{3.3!} + \frac{y_1^5}{5.5!} - y + \frac{y^3}{3.3!} - \frac{y^5}{5.5!} + \dots \right] \right\} \quad (10)$$

其中 $y_1 = \sin^{-1} \frac{1}{3} - \sin^{-1}(-1)$ 。或者根据 $z = z_0$ (粗度参量), $u_1 = 0$, 则(9)式的积分为

$$u_1 = \frac{1}{2k} \sqrt{\frac{9F_{01}}{2\rho}} \left\{ \cos^{-1} \frac{1}{3} \left[\ln|y| - \frac{y^2}{2.2!} + \frac{y^4}{4.4!} - \ln|y_0| + \frac{y_0^2}{2.2!} - \frac{y_0^4}{4.4!} + \dots \right] + \sin^{-1} \frac{1}{3} \left[y - \frac{y^3}{3.3!} + \frac{y^5}{5.5!} - y_0 + \frac{y_0^3}{3.3!} - \frac{y_0^5}{5.5!} + \dots \right] \right\} \quad (11)$$

式中 $y_0 = \sin^{-1} \frac{1}{3} - \sin^{-1} \frac{1 - 4\frac{z_0}{h}}{3}$ 。在海面 $z = h$, $u_1 = u_{01}$, 将(11)式改写成相对应的表达式, 然后用它除(11)式, 即得任意深层流速 u_1 与表面流速 u_{01} 比值的鉛直分布公式为

$$\frac{u_1}{u_{01}} = \frac{1}{Y} \left\{ \cos^{-1} \frac{1}{3} \left[\ln|y| - \frac{y^2}{2.2!} + \frac{y^4}{4.4!} - \ln|y_0| + \frac{y_0^2}{2.2!} - \frac{y_0^4}{4.4!} + \dots \right] + \sin^{-1} \frac{1}{3} \left[y - \frac{y^3}{3.3!} + \frac{y^5}{5.5!} - y_0 + \frac{y_0^3}{3.3!} - \frac{y_0^5}{5.5!} + \dots \right] \right\} \quad (12)$$

其中

$$Y = \cos^{-1} \frac{1}{3} \left[\ln|y_1| - \frac{y_1^2}{2.2!} + \frac{y_1^4}{4.4!} - \ln|y_0| + \frac{y_0^2}{2.2!} - \frac{y_0^4}{4.4!} + \dots \right] + \sin^{-1} \frac{1}{3} \left[y_1 - \frac{y_1^3}{3.3!} + \frac{y_1^5}{5.5!} - y_0 + \frac{y_0^3}{3.3!} - \frac{y_0^5}{5.5!} + \dots \right].$$

2. 高潮后 $\frac{1}{4}$ 周期的时刻潮流分量 (u_2) 的鉛直分布。

将(5)式代入(8)式, 得

$$\frac{d}{dz} \left(\frac{1}{u_2'} \right) = \frac{k}{u_2^{*2}} \frac{1}{\sqrt{1 - z/h}}$$

式中 $u_2^* = \sqrt{\frac{F_{02}}{\rho}}$, 一般称为摩擦速度。海底处 $z = 0$, $u_2' \rightarrow \infty$, 于是

$$u_2' = \frac{u_2^*}{2kh} \frac{1}{1 - \sqrt{1 - z/h}} \quad (13)$$

令 $z = h$, $u_2 = u_{02}$, 上式的积分为

$$u_2 = u_{02} + \frac{u_2^{*2}}{k} [\sqrt{1 - z/h} + \ln(1 - \sqrt{1 - z/h})] \quad (14)$$

因为 $z/h \leq 1$, 故上式括号内为负值或为零。可见, 潮流随深度而减小。根据 $z = z_0$,

$u_2 = 0; z = h, u_2 = u_{02}$ 的条件, 便得

$$\frac{u_2}{u_{02}} = 1 - \frac{\sqrt{1 - z/h} + \ln(1 - \sqrt{1 - z/h})}{\sqrt{1 - z_0/h} + \ln(1 - \sqrt{1 - z_0/h})} \quad (15)$$

三、結果和討論

1. 取海水密度 $\rho = 1.02$, 并由图 1 近似地取 $F_{01} = 1.0, F_{02} = 7.8$ 。根据 (10)、(14) 式的計算結果与实测資料^[5]列表如下:

表 1

z/h	最大流速 (厘米/秒)		相 角 (度)	
	观 测 值	計 算 值	观 测 值	計 算 值
1.00		71.8		3°.3
0.80		70.8		3°.1
0.75	67.8	70.4	3°.1	2°.9
0.60		69.2		2°.5
0.50	64.2	68.0	2°.7	2°.1
0.40		66.8		1°.7
0.25	56.9	63.8	1°.3	0°.8
0.20		62.3		0°.4
0.10		57.7		-1°.1
0.08		56.2		-1°.7
0.06		54.4		-2°.4
0.05	50.3	52.9	-0°.8	-3°.0
0.04		51.5		-3°.6
0.02		46.9		-5°.9

由上表得知:

① 計算值与实测資料变化趋势基本一致;二者流速偏差值平均为 4 厘米/秒,最大偏差为 6.9 厘米/秒;相角偏差值平均为 0.9° , 最大偏差为 2.2° 。

② 在上、中层, 潮流最大流速随深度而减小十分緩慢, 这与理論上的假定基本相符。 z/h 在 1.00 至 0.20 之間, 深度每加大 $0.1h$, 最大流速平均减小 1.2 厘米/秒; 而在近底层 ($0.2 \leq z/h \leq 0.02$), 深度每加大 $0.1h$, 流速值平均减小 8.6 厘米/秒。遞減率后者約为前者的 7 倍。

③ 相角随深度而变小, 这表明越向深层发生最大流速的时刻越提前。这是因为愈接近海底脉冲应力愈大, 压强梯度力与脉冲应力先取得平衡, 因之最大流速出現的时刻便相应地提前。

2. 为方便計, 按照 (12) 和 (15) 式取 $z_0 = 1$ 厘米、 $h = 20$ 米, 計算比值 u_1/u_{01} 和 u_2/u_{02} 的鉛直分布。計算結果作出 2、3、4 諸图。

① 在 2、3、4 图中, 按实测資料的深度, 摘取出相应計算值。实测資料与計算結果二者偏差的绝对值, 平均为 2.6 厘米/秒, 最大偏差小于 6.0 厘米/秒。

3. 根据文献[5], x 軸取接近于最大流速的方向。因此, 本文所求得分布規律大致和最大流速的鉛直分布相近。为了作出对比, 姑且引用文献[1]、[2]所刊載的資料进行計

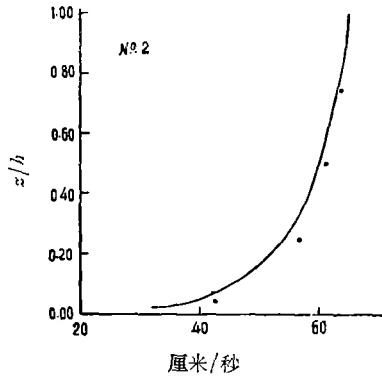


图 2 (· 实测資料)

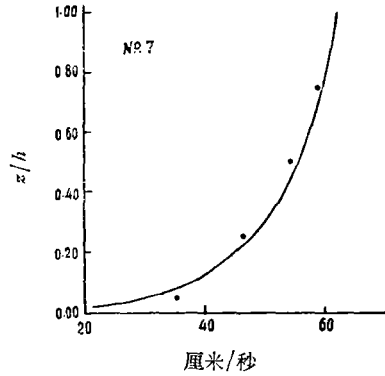


图 3 (· 实测資料)

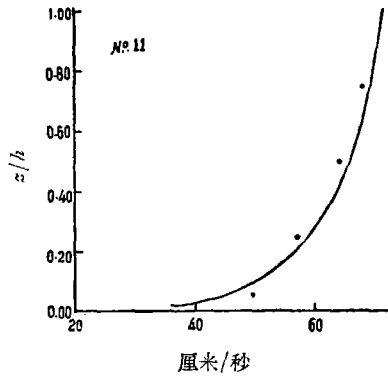


图 4 (· 实测資料)

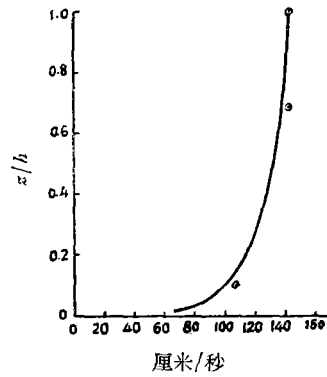


图 5 (· 实测資料)

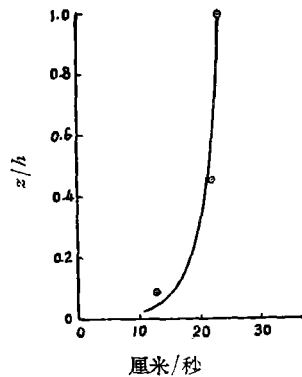


图 6 (· 实测資料)

算(表 2) 并作成图 5、6。当然这几种情况它們的潮汐类型、摩擦效应未尽相同,但仍可看出实测資料接近本文求得的分佈曲綫。

必須着重指出,各个海区、甚至同一海区的不同地点,潮流鉛直分佈及其随时间的变化是相当复杂的,要找出一种理論表达式概括所有的情況是困难的。本文所有的論述(包括結語)仅仅对于脉冲应力分佈如图 1 所表示的那一种类型的情況而言的。

根据某些資料,最大流速往往出现在海面以下若干米,出现的深度随地点、条件而异。这或許是海面应力不为零所致,或許是其他原因引起的。对于具有周期变化的潮流而言,

海面应力应如何选取尚有待于进一步的探讨。

表 2

z/h	觀 測 值 (厘米/秒)	計 算 值 (厘米/秒)	觀 測 值 (厘米/秒)	計 算 值 (厘米/秒)
1.00	142	142	23	23
0.80		139		23
0.70	142	137		—
0.60		134		22
0.45		—	22	21
0.40		127		21
0.20		114		19
0.10	106	101		16
0.09		—	12	16
0.08		97		16
0.06		92		15
0.04		84		14
0.02		71		11

四、結 語

1. 在浅水海区,潮流分量铅直分布仍与理论上的假定基本相符。上、中层的流速相差不大,只是在近底层才迅速减小。

2. 愈接近海底,发生最大流速的时刻愈加提前。

3. 在 z/h 从 0.00 到 0.20 附近这一水层里,底摩擦的影响比较显著。

4. 应用湍流半经验理论探讨浅海的潮流,是了解其铅直结构的可能途径之一。若能分别考虑在不同情况下海面应力和各个层次应力的量值,同时进一步研究不同底质粗度参量 z_0 的量值,将会大大地提高计算的精确度。

* * * *

本文承赫崇本、文圣常教授审阅,提出了宝贵的意见。管秉贤、郑文振、王景明、刘凤树、余宙文先生也提出一些有益的建。谨此对他们表示衷心的感谢。

参 考 文 献

- [1] 斯费德鲁普, H. V. 等著, 1958. “海洋” 第二卷毛汉礼译, 科学出版社, 503—508 页。
- [2] Пербунина, Т. П., 1960. О строении приливного потка в неглубоких проливах. *Труды гоина* 57:44—66.
- [3] Вапняр, Д. У., 1962. Влияние Трения на приливные явления. Мелководных районов. *Труды гоина* 53:5—58.
- [4] Sverdrup H. V., Dynamic of tides on the North Siberian shelf. *Geofysiske Publikasjoner*. 4(5): 1—75.
- [5] Bowden, K. F. & L. A. Fairbairn, 1952. A determination of frictional forces in a tidal current, *Proc. Roy. Soc. A*, 214:371—392.

ОДИН ТИП ВЕРТИКАЛЬНОГО РАСПРЕДЕЛЕНИЯ (СОСТАВЛЯЮЩИХ) ПРИЛИВНЫХ СКОРОСТЕЙ В МЕЛКОВОДЬЕ

Чэнь Цзун-юн

(Шиньдунский океанографический институт)

Резюме

В настоящей статье автором даны формулы для вычисления вертикального распределения составляющих приливных скоростей в мелководье, которые выведены по полуэмпирической теории турбулентности и по полученной закономерности вертикального распределения пульсационных напряжений. По выделённым нами формулам можно вычислить максимальные скорости на каждом слое воды по максимальной скорости на поверхности. Результаты вычислений довольно хорошо совпадают с данными наблюдений.